

Ergodentheorie II

SS 2017

0. Einleitung!

Der Satz von Szemerédi:

Wir untersuchen die folgende Eigenschaft:

$$\mathbb{C} \subset \mathbb{N}$$

(AP) $\exists \alpha, n: a, a+n, a+2n, \dots, a+kn \in \mathbb{C}$

$\xrightarrow{\text{Länge}}$ $\xrightarrow{\text{Anfang}}$ $\xrightarrow{\text{Schritt}}$

(AP_k)

Th 0.1 (Van der Waerden, 1927)

$$N = C_1 \cup \dots \cup C_m \Rightarrow \exists i: C_i \text{ hat (AP)}$$

Bf (Keine ∞ -langen AP i. A.)

$$N = C_1 \cup C_2$$

$\underbrace{1, \dots, 100}_{\in C_1}, \underbrace{101, \dots, 1000}_{\in C_2}, \dots$

Weder C_1 noch C_2 erfüllt (AP $_{\mathbb{R}}$) \exists eher ∞ -langen AP.

Def. 0.2 Sei $C \subset \mathbb{N}$. Die obere Dichte von C ist

$$d(C) := \lim_{N \rightarrow \infty} \frac{\#(C \cap \{1, \dots, N\})}{N}$$

Analog: $\underline{d}(C)$ - untere Dichte. Wenn der Limes \exists , nennt man ihn die Dichte von C .

Bsp] $2\mathbb{N}$ hat Dichte $1/2$
 \mathbb{N} hat Dichte 1

$\exists C$ mit $\underline{d}(C) = 0$, $\overline{d}(C) = 1$: $0,1,1,1,1,1,0,0,0, \dots, 0,1,1,1,1,1,0,0,0, \dots$

Th 0.3 (Sauerbridi, 1975)

$\overline{d}(C) > 0 \Rightarrow C$ erfüllt (AP)

Bem. Sauerbridi \Rightarrow von der Waarden ($\exists C_j$ mit $\overline{d}(C_j) > 0$)

- folgt aus: $\overline{d}(C_1 \cup C_2) \leq \overline{d}(C_1) + \overline{d}(C_2) - \binom{n}{2}$

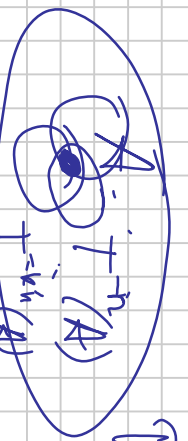
3 mehrere Beweise von Saengerli;

- ① Furstenberg 1977 - Ergodentheorie
- Gowers 2002 - Fourier analysis
- Gowers + 4, 2004 - Graphentheorie

Furstenberg: Übersetzung in die ET-Sprache + Lösung

Th. 0.4 (Furstenberg, multiple Recurrence, 1977)

Seien (X, μ, T) ein MDS, $A \subset X$ mit $\mu(A) > 0$ und $k \in \mathbb{N}$



Dann:

$$\lim_{N \rightarrow \infty} \frac{1}{N} \sum_{n=1}^N \mu(A \cap T^{-n}(A) \cap \dots \cap T^{-kn}(A)) > 0$$

Es gilt: Furstenberg \Leftrightarrow Sauerbri, wir brauchen nur \Rightarrow ,

1. Furstenberges Korrespondenzprinzip

Prop. 1.1 Multiple Rekurrenz $(\mathcal{K}) \Rightarrow$ Sauerbri (\mathcal{K})

Hilfsmittel / Fakten aus FA

1) Schwach*-Topologie auf E' für einen BR E :
 $\varphi_n \xrightarrow{\text{schwach}^*} \varphi$, wenn $\varphi_n(x) \rightarrow \varphi(x) \quad \forall x \in E$

2) $(E^\perp)' = E^\infty$ und schwach*-Kons. auf E^∞
entspricht der word. Konsistenz!

$$f_n \xrightarrow{\text{Schwach}^*} f \Leftrightarrow (f_n)_j \rightarrow f_j \quad \forall j \quad \textcircled{ii}$$

3) $(C(K))' = \mathcal{M}(K)$ - Borelmaße auf K mit

$$\varphi(f) = \int f d\mu$$

(Satz von Riesz)

Funktional μ

Schwach*-Norm entspricht Normergema auf Mengen:

$$\mu_n \xrightarrow{\text{Schwach}^*} \mu \Leftrightarrow \mu_n(A) \rightarrow \mu(A) \quad \forall A \text{ Borel}$$

4) Satz von Banach-Mazur: Die abg. Einheitskugel in E' ist schwach*-kompakt. Insbesondere hat V beschr.

Folgt aus E' eine schwach*-norm. Teilfolge (wenn E separabel ist).

Beweis von Prop. 1.1

Sei $C \in \mathbb{K}$ mit $\Re(C) > 0$.

Zu konstruieren $(X, \mu, T), \lambda, \dots$

$$C \rightsquigarrow \mathbb{1}_C \in \ell^\infty(\mathbb{Z}) \quad 1, 2, 4, \dots \rightsquigarrow 1101 \dots$$

$$T: \ell^\infty(\mathbb{Z}) \rightarrow \ell^\infty(\mathbb{Z}) \text{ Linksshift: } T((t_j)) = (t_{j+1})$$

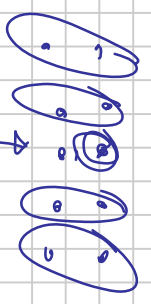
$$\text{Def. } X := \underbrace{\{T^k \mathbb{1}_C, k \in \mathbb{Z}\}}_{\text{schwach}^*} \subset \ell^\infty$$

- $A_{X \in X}$ ist eine 0-1-Folge
- X ist schwach*-komp. (Banach-Raum)

Sei $T \leftarrow$ auf X (invert. Transf.)

Betrachte:

$A := \{ (t, s) \in X : t_0 = 1 \}$ - Zylinder



0-te word.

- A ist abg. und offen ($X \setminus A$ abg.)

$$\boxed{T^m \mathbb{1}_C \in A \Leftrightarrow m \in C}$$

$$(T^m \mathbb{1}_C)_0 = 1 \Leftrightarrow (\mathbb{1}_C)_m = 1 \Leftrightarrow m \in C.$$

- erfüllt $(AP_2) \Leftrightarrow \exists a, n : a, a+n, \dots, a+kn \in C$

$$T^a \mathbb{1}_C, T^{a+n} \mathbb{1}_C, \dots, T^{a+kn} \mathbb{1}_C \in A$$

$$\Leftrightarrow \exists a, n : T^a \mathbb{1}_C \in \underbrace{A \cap T^{-n} A \cap \dots \cap T^{-kn} A}_{\text{offen}} \underbrace{\subset}_{\text{eigen nicht}}$$

$$\Leftrightarrow \exists n : A \cap T^{-n} A \cap \dots \cap T^{-kn} A \neq \emptyset$$

injektiv, C hat (AP_2) , wenn

$\exists \mu$ (T-invar): $\mu(A \cap \dots \cap T^{-kn}A) > 0$ für ein n .

Konstruktion von μ

Über Dichte: $\int f(N_k)$:

$\frac{\# \{e \in \mathbb{N} \mid \dots, N_k\}}{N_k} \rightarrow \int f(x) > 0$

$$(\otimes)_k \nu = \frac{1}{N_k} \sum_{n=1}^{N_k} \mathbb{1}_e(n) = \frac{1}{N_k} \sum_{n=1}^{N_k} \mathbb{1}_A(T^n \mathbb{1}_e)$$

$$= \frac{1}{N_k} \sum_{n=1}^{N_k} \mathcal{S} \{T^n \mathbb{1}_e\} (A)$$

$\mathcal{S} \{T^n \mathbb{1}_e\} (A) =: \mu_k$ - Borel \mathcal{W} -Maße
 d.h. $\mu_k \in \mathcal{C}(X)$

Bornach-Axiom: $\exists \mu_j \rightarrow \mu$ für ein $\mu \in \mathcal{M}(X)$.

μ erfüllt:

- μ ist W'Kas ($\mu_{\nu_j}(X) \rightarrow \mu(X)$)
verw.

- μ ist T-imp:

$$\begin{aligned} \mu_{\nu}(T^{-1}B) &= \frac{1}{N_{\nu}} \sum_{n=1}^{N_{\nu}} \delta_{\{T^n C\}}(T^{-1}B) \\ &= \frac{1}{N_{\nu}} \sum_{n=2}^{N_{\nu}+1} \delta_{\{T^n C\}}(B) \end{aligned}$$

D.h., $|\mu_{\nu}(T^{-1}B) - \mu_{\nu}(B)| \leq \frac{2}{N_{\nu}} \rightarrow 0$

- $\mu(A) = \lim \mu_{\nu_j}(A) = \alpha(C) > 0$

Wenn multiple Rekurrenz gilt, dann $\exists n$:

$$\mu(A \cap T^{-n} A \cap \dots \cap T^{-kn} A) > 0$$

$\Rightarrow \neq \emptyset$

$\Rightarrow C$ hat $(AP)_a$.

Erminnere Der Kooperoperator T auf $L^2(X, \mu)$:

$$(Tf)(x) := f(Tx)$$

T invert. \Rightarrow Kooperanf. T unitär.

Reformulierung der mult. Rekurrenz ($A \rightsquigarrow \mathbb{1}_A > 0$)

Seien (X, μ, T) MDS, $f > 0$ beschr. Dann gilt VL:

$$\lim_{N \rightarrow \infty} \frac{1}{N} \sum_{n=1}^N \int f \circ T^n f \dots \circ T^{kn} f \rightarrow 0$$



Idee: • Beweise mult. Rel. zuerst für "einfache" Systeme / Funktionen
 • Zeig, dass ein beliebiges System / bel. Fkt eine Kombination von einfachen Systemen / Fktin ist.

Bem. Der Limes oben existiert:

Host-Kra, 2005: f_1, \dots, f_k beschr. bewert. multiple Konvergenz

$$\lim_{N \rightarrow \infty} \left[\frac{1}{N} \sum_{n=1}^N T^n f_1, \dots, T^n f_k \right]$$

($k=1$ - von Newman, $k=2$ werden wir beweisen, $k \geq 3$ viel komplizierter.)

2. Reduktion auf ergodische Maße

Wir zeigen, dass μ ergodisch gewählt werden kann.

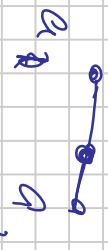
Satz (Krein-Milman) für $M \subseteq E$ (E Banach) konvex

und schwach* abg. gilt: schw.*

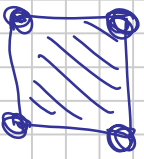
$M = \text{conv} \{ \text{Extremalpunkte von } M \}$

Wir ist $a \in M$ Extremalpunkt von M , wenn $\exists a_1, a_2 \in M$

$\exists \lambda \in (0,1)$: $a = \lambda a_1 + (1-\lambda) a_2$.



Bsp



Wir wenden diesen

Satz auf

$\text{conv}(X) := \{ T\text{-inv. } \mu \text{ liegt auf } X \}$

für ein TDS (X, T) an.

Beobachtung • $\mathcal{M}_T(X) \subset \mathcal{M}(X) = \mathcal{C}(X)'$

- $\mathcal{M}_T(X)$ ist konvex:

• μ_1, μ_2 T-inv., $\alpha \in (0, 1)$, dann

$$\alpha \mu_1(T^{-1}A) + (1-\alpha)\mu_2(T^{-1}A) = \alpha \mu_1(A) + (1-\alpha)\mu_2(A)$$

- $\mathcal{M}_T(X)$ ist schwach*-abg.:

$$\mu_n \rightarrow \mu \iff \int f d\mu_n \rightarrow \int f d\mu \quad \forall f \in \mathcal{C}(X)$$

d.h. $\int f d\mu = \int f d\mu_n \rightarrow \int f d\mu$, μ ist T-inv.

Wie sehen Extremalpunkte aus?

Prop. 2.11

μ ist Extrempunkt von $\mathcal{M}_T(X)$

$\Leftrightarrow (X, \mu, T)$ ergodisch

Beweis

\Rightarrow

Ang., μ nicht erg., d.h. $\exists B$ mit $\mu(B) \in (0,1)$:

$$X \setminus B = T^{-1}(X \setminus B) \quad \text{(bis auf Nullmenge)}$$

Def. μ_1, μ_2 :

$$\mu_1(A) := \frac{\mu(A \cap B)}{\mu(B)}$$

\nearrow W' Masse auf X ,

$$\mu_2(A) = \frac{\mu(A \cap (X \setminus B))}{\mu(X \setminus B)}$$

μ_1, μ_2 sind T -inv.:

$$\mu_1(T^{-1}(A)) = \frac{\mu(T^{-1}(A) \cap B)}{\mu(B)} = \frac{\mu(T^{-1}(A \cap B))}{\mu(B)} = \mu_1(A)$$

analog für μ_2

$$\mu(A) = \mu(A \cap B) + \mu(A \setminus B) = \mu(B) \cdot \mu(A) + (1 - \mu(B)) \cdot \mu_2(A)$$



$\Rightarrow \mu$ ist nicht extremal
für μ erg. d. h.

$$\frac{1}{N} \sum_{n=1}^N f \xrightarrow{\|\cdot\|_{L^2(X, \mu)}} \int f d\mu \quad \forall f \in C(X) \quad (*)$$

Ang.: μ nicht extremal:

$$\mu = \alpha \mu_1 + (1 - \alpha) \mu_2, \quad \alpha \in (0, 1), \quad \mu_1 \neq \mu_2 \in \mathcal{M}_f(X)$$

Dann gilt: $\mu_1 \leq \frac{1}{\alpha} \mu$ und

$$\| \mu_1 \|_{L^2(\mu_1)} = \left(\int |\mu_1|^2 d\mu_1 \right)^{1/2} \leq \frac{1}{\alpha} \| \mu \|_{L^2(\mu)}$$

d. h., Norm. μ_1 bes. $L^2(\mu)$ impliziert Norm. in $\|\cdot\|_{L^2(\mu_1)}$.

Wir haben:

$$\int f d\mu_1 \stackrel{=}{=} \int f d\mu_2 \stackrel{=}{=} \int f d\mu_1 \xrightarrow{\text{erg.}} \int f d\mu = \int f d\mu$$

$\int f d\mu_1 \stackrel{=}{=} \int f d\mu_2 \stackrel{=}{=} \int f d\mu_1 \xrightarrow{\text{erg.}} \int f d\mu = \int f d\mu$
 (erg. = $\int f d\mu_1 = \int f d\mu_2 = \int f d\mu$)

$$\Rightarrow \mu_1 = \mu \Rightarrow \mu_1 = \mu_2$$

$\forall f \in \mathcal{C}(X)$

Erkenntnis: Furstenberg'sches Korrespondenzprinzip:

$$X = \mathbb{T}^n \mathbb{Z} \text{ , } n \in \mathbb{Z} \text{ , } T \leftarrow \text{ , } f = \{x \in X : t_0 = 1\}$$

$$\mu : \mu(A) = d(C) > 0$$

Prop. 2.1 + Krone-Wurman: $\mu \in \overline{\text{conv}} \{T\text{-inv. erg. Ma\ss e}\}$

Daraus folgt: $\exists \nu \in \mathcal{M}_T(X)$ (erg.):

$$\nu(A) \geq \frac{\mu(A)}{2} = \frac{d(C)}{2} > 0$$

D.h., \exists ergodisches Maß ν : $\nu(A \cap T^{-n}A \cap \dots \cap T^{-kn}A) > 0$
nach Fürstenberg.
Wir werden multiple Rekurrenz (Fürstenberg) nur für
ergodische Maße (teilweise) beweisen.

3. Zum Aufwärmen: polynomiale Konvergenz und Rekurrenz

Th 3.1 (Fürstenberg-Sárközy, '77)
Sei $C \subset \mathbb{N}$ mit $\delta(C) > 0$, $p \in \mathbb{Z}[X]$ mit $p(0) = 0$.
Dann $\exists x, n$: $x, x+p(n) \in C$.

(z.B.: $x_1 x + n^2 \in \mathbb{C}$).

BSP ($p(0) = 0$ kann nicht weggelassen werden)

$$C = \mathbb{Z}_N, \quad p(n) = 2n + 1. \quad \text{Dann } \exists x, n : x, x + n \in C$$

eine leichte Modifikation des Korrespondenzprinzips liefert

(N): Th 3.1 folgt aus:

Th 3.2 seien (X, μ, T) ein MDS, $A \subset X$ mit $\mu(A) > 0$,

$p \in \mathbb{Z}(X)$ mit $p(0) = 0$. Dann gilt:

$$\lim_{N \rightarrow \infty} \frac{1}{N} \sum_{n=1}^N \mu(A \cap T^{-pn} A) > 0$$

$$\text{Wieder: } A \rightarrow \mathbb{1}_A \quad \mu(A \cap T^{-pn} A) = \int T^{pn} \mathbb{1}_A \cdot \mathbb{1}_A \, d\mu$$

$$= \langle T^{pn} \mathbb{1}_A, \mathbb{1}_A \rangle$$

Wir zeigen mehr:

Th 3.3] seien $p \in \mathbb{Z}[X]$, (X, μ, T) MDS.

1) (Polynomiale Konvergenz)

$\forall f \in L^2$ bzw. $\frac{1}{N} \sum_{n=1}^N T^{P(n)} f$ in $L^2(X, \mu)$

2) (Polynomiale Rekurrenz)

Wenn $p(0) = 0$, $f \in L^\infty$, $f > 0$, dann

$$\lim_{N \rightarrow \infty} \frac{1}{N} \sum_{n=1}^N \langle T^{P(n)} f, f \rangle > 0.$$

Änderung ist da, da $\langle T^{P(n)} f, f \rangle$ auch > 0 .

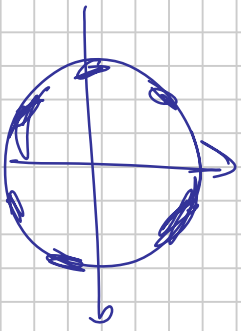
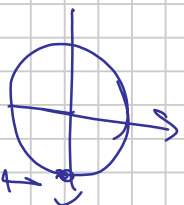
2) \Rightarrow Furstenberg-Satz

FA-Mittel Der Spektralsatz für unitäre Operatoren

Seien H Hilbert, M unitär auf H und $x \in H$ zyklisch für M , d.h.,

$$H = \overline{\text{lin} \{M^n x, n \in \mathbb{Z}\}}.$$

Dann $\exists \nu \in \mathcal{M}(\mathbb{T})$ - das Spektralmaß von x - s.d.



$$\begin{cases} H \xrightarrow[\text{isomorph}]{\text{Boyd}} L^2(\mathbb{T}, \nu) \\ M \xrightarrow{x} M\text{-Multiplikator: } (Mf)(\lambda) := \lambda \cdot f(\lambda) \\ \mathbb{1} \end{cases}$$

Außerdem ist $\sigma(M) = \text{supp} \nu$ und:

λ_0 ist EW von $M \iff \nu(\{\lambda_0\}) > 0$, d.h., λ_0 ist

(Erinner: M unit. Matrix $\Rightarrow M \sim \begin{pmatrix} \lambda_1 & & 0 \\ & \ddots & \\ 0 & & \lambda_n \end{pmatrix}$ Atom für ν . ~~Atom für ν~~ ~~Atom für ν~~)

Beweis: Polynomiale Konvergenz

Wir beweisen die Aussage für invertierbare T

(\Rightarrow) Normoperator ist unitär) - reicht für Furstenberg-Sarason.

für $f \in L^2(X, \mu)$ und def. $H := \overline{\text{lin} \{T^n f, n \in \mathbb{Z}\}}$. Dann ist f zyklisch für $T|_H$, also \exists Spektralmaß ν auf \mathbb{T} .

$$T^n f \sim \int_{\mathbb{T}} z^n d\nu \text{ auf } L^2(\mathbb{T}, \nu)$$

D.h., Konvergenz von $\frac{1}{N} \sum_{n=1}^N T^n f$ in $L^2(X, \mu)$ entspricht

Konv. von $\frac{1}{N} \sum_{n=1}^N q^n$ in $L^2(\mathbb{T}, \nu)$.

Fall 1: q irrational ($q^n \neq 1 \forall n \neq 0$)

Satz (Weyl): $(q^n)_{n=1}^{\infty}$ ist gleichverteilt in \mathbb{T} $\forall q$ irrational

$\forall p \in \mathbb{Z} \setminus \{0\}$, $\deg P \geq 1$.

Über (additiv): $(\Delta p(n))$ ist gleichverteilt in $[0, 1]$ $\forall \Delta \in \mathbb{R} \setminus \{0\}$

$\forall p$ mit $\deg P \geq 1$.

Beweis - später, sorry
($p(n) = n - WS$)

Erinnere (WS): Weg-Kriterium: (a_n) gleichverteilt in $[0, 1]$

$$\Leftrightarrow \frac{1}{N} \sum_{n=1}^N e^{2\pi i a_n k} \rightarrow 0 \quad \forall k \neq 0.$$

Insbesondere gilt für $\Delta = e^{2\pi i \Delta}$ (Δ invert.); $a_n = \Delta p(n)$, $k=1$:

$$\frac{1}{N} \sum_{n=1}^N e^{2\pi i \Delta p(n)} \rightarrow 0$$

nach Weg.

Fall 2 Δ rational: für $\Delta^a = 1$.

OBdA $p(0) = 0$: $\frac{1}{N} \sum_{n=1}^N T_{p(n)}^k =$

$$= \frac{1}{N} \sum_{n=1}^N T_{p(n)}^k \quad (\neq 0)$$

Da $p(0) = 0$, gilt:

$$p(n+a) = p(n) + a \cdot \text{etwas}$$

Bsp:



also gilt

(gilt für n, n^2, n^3, \dots)

$$\lambda^{p(n+a)} = \lambda^{p(n)}$$

$$\lambda^a = 1$$

$$a=3, p(n)=n^2$$

$n^2 \pmod 3: 1, 1, 0, 1, 1, 0, \dots$

also haben wir:

$$\sum_{n=1}^N \lambda^{p(n)} = [N = k \cdot a + r \text{ mit } 0 \leq r < a]$$

$$= \frac{1}{ka+r} \left[\sum_{n=1}^{ka} \lambda^{p(n)} + \sum_{n=ka+1}^{ka+r} \lambda^{p(n)} \right]$$

$$= \frac{k}{ka+r} \sum_{n=1}^a \lambda^{p(n)} + \frac{1}{N} \sum_{n=ka+1}^{ka+r} \lambda^{p(n)}$$

$$\rightarrow \frac{1}{a} \sum_{n=1}^a \lambda^{p(n)}$$

$$=: C(a)$$

Satz von Lebergue (majorisierte Konv.):

$$\frac{1}{N} \sum_{n=1}^N A^{pn} \xrightarrow{L^2(\mathbb{T}^D)} g,$$

wobei

$$g(\lambda) = \begin{cases} c(\lambda), & \lambda \text{ rat. und ein Atom von } \nu, \\ 0 & \text{sonst} \end{cases}$$

Insbesondere ist $\lim_{n \rightarrow \infty} \frac{1}{n} \sum_{k=1}^n A^{pk} = 0$, wenn ν keine Atome hat, d.h., wenn T keine EW hat. ~~☐~~

Beweis Rekurrens ZZ: $\rho > 0$ und beschr. $\Rightarrow \lim_{n \rightarrow \infty} \frac{1}{n} \sum_{k=1}^n \langle T^{pk} \mathbf{f}, \mathbf{f} \rangle > 0$
(positive Korrelation mit ρ) pol. Konvergenz.

Schritt 1 (Zerlegung in strukturierteren und zufälligen Teil)

Sinnvoll:

$$L^2(X, \mu) = \text{Fix } T \oplus \underbrace{\text{Rg}(1-T)}_{T=I}$$

— siehe den Beweis
des Mittelwertsatzes

Dasselbe für T^a für $a \in \mathbb{N}$:

$$L^2 = \text{Fix } T^a \oplus \underbrace{\text{Rg}(1-T^a)}_{A^a}$$

Eigenschaft von $\text{Fix } T^a$:

$$a: b \Rightarrow \text{Fix } T^a \subset \text{Fix } T^b$$

Insbesondere haben wir:

$$\text{Fix } T \subset \text{Fix } T^2 \subset \text{Fix } T^3 \subset \dots \subset \text{Fix } T^n \subset \dots$$

Dies impliziert

$$L^2(X, \mu) = \underbrace{\bigcup_{a=1}^{\infty} \text{Fix } T^a}_{=: \text{Hirat}} \oplus \underbrace{\text{Rest}}_{= \bigcap_{a=1}^{\infty} \text{Rg}(1-T^a)}$$

Komponente des rationalen Spektrums

Eigenschaften von H_{rat}

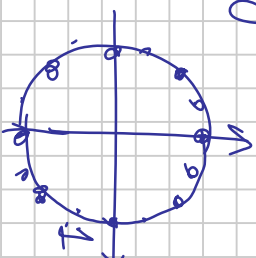
- H_{rat} ist ein lin. abg. T -inw. Teilraum:

$$T^{-i}w; T^a x = x \Rightarrow T^a(Tx) = Tx$$

$$\text{lin.: } T^a x = x \Rightarrow T^{a \cdot b}(x+y) = x+y$$

- $H_{\text{rat}} \supset$ Eigenvektoren zu rat. Eigenwerten

$$Tx = e^{2\pi i \frac{p}{q}} x \Rightarrow T^{-q} x = x$$



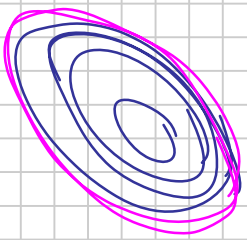
Es gilt sogar: $H = \overline{\text{lin}}$ (Eigenvektoren zu rat. Eigenwerten)

(iii): Probieren sie den Spektralsatz)

- $f_{\text{rat}} := P_{H_{\text{rat}}} f > 0$ und beschränkt:

≥ 0 : Def. $f_{a_i} := P_{\text{Fix } T_{a_i}} f$

Mittelwertsatz: $f_{a_i} = \lim_{n \rightarrow \infty} \frac{1}{n} \sum_{i=1}^n T_{a_i} f \geq 0$



(ii): Y_n abg. lin. TR

$$Y_n \subset Y_{n+1} \quad A_n \quad \Rightarrow \quad P_{Y_n} x = \lim_{n \rightarrow \infty} P_{Y_n} x$$

$$y := \overline{\bigcup Y_n}$$

(Bem.: Für $Y_n = L^2(X, \Sigma_n, \mu)$ ist das

Abster-S-Alg. der Martingalsatz)

Es gilt also

$$f_{\text{rat}} = L^2\text{-}\lim f_{a_i} \geq 0 \quad (\text{Warum?})$$

$\neq 0$ $0 < \int A \, d\mu = \langle f, \mathbb{1} \rangle = \langle f_{\text{rat}}, \mathbb{1} \rangle = \int f_{\text{rat}} \, d\mu$

$f_{\text{rat}} \perp H_{\text{rat}} \ni \mathbb{1}$

berhm. folgt genauso wie ≥ 0

Zerlege

$$f = \underbrace{f_{\text{rat}}}_{\text{Kreat}} + \underbrace{f_{\text{rest}}}_{\text{Rest}}, \quad f_{\text{rat}} \perp f_{\text{rest}}$$

Dann:

$$\langle T^n f, f \rangle = \langle T^n f_{\text{rat}}, f_{\text{rat}} \rangle + \langle T^n f_{\text{rest}}, f_{\text{rest}} \rangle \\ + \underbrace{\langle T^n f_{\text{rat}}, f_{\text{rest}} \rangle}_{\in \text{Kreat}} + \underbrace{\langle T^n f_{\text{rest}}, f_{\text{rat}} \rangle}_{\in \text{Rest}} = 0$$

Wir zeigen:

- $\frac{1}{N} \sum_{n=1}^N \langle T^{pn} f_{\text{rest}}, f_{\text{rest}} \rangle \rightarrow 0$ in L^2
- $\lim_{n \rightarrow \infty} \frac{1}{N} \sum_{n=1}^N \langle T^{pn} f_{\text{rat}}, f_{\text{rat}} \rangle > 0$

Schritt 2: Der zufällige Teil (Rest)

Sprimere: Wir haben gerade:

$$\frac{1}{n} \sum_{i=1}^n T(p_i n) \xrightarrow{X} 0$$

sobald das auch Spektralmaß keine ~~Atom~~^{rest} hat,
d. h., T keine rat. Eigenwerte hat.

Schritt 3: Strukturierter Teil (Krat)

k_i $f \in H_{\text{rat}}$ (erinnere; $f_{\text{rat}} \rightarrow 0$, beschr.)

$$\|f\|_{\infty} \leq 1$$

Fall 1: $f = f_a$, d. h., $T^a f = f$.

$$|p_0| = 0 \Rightarrow a; p(a) \Rightarrow \langle T_{p(a)} f, f \rangle = \|f\|^2$$

$$a; p(2a) \Rightarrow \langle T_{p(2a)} f, f \rangle = \|f\|^2$$

und damit

$$\lim_{n \rightarrow \infty} \frac{1}{a^n} \sum_{n=1}^{\infty} \langle T_{p(n)} f, f \rangle \geq \frac{\|f\|^2}{a} > 0$$

Fall 2 für $f \in \text{Ker } T$ beliebig.

Bestimme $d := \int f \, d\mu > 0$.

Da $\text{Ker } T = \bigcup_{n=1}^{\infty} H_{n_1}$ und $H_{n_1} \rightarrow \emptyset$, $\exists a:$

$$\|f - p_{a_1}\|_2 < \frac{d}{4} \quad \text{für } p_{a_1} = p_{\text{fix}} f.$$

Es immer: $\|f\|_\infty \leq \|f\|_2 \leq 1$ (Mittelpolensatz)

Wir haben:

$$\begin{aligned} \langle T^n f, f \rangle &= \langle T^n f_a, f \rangle + \langle T^n (f - f_a), f \rangle \\ &= \langle T^n f_a, f_a \rangle + \langle T^n (f - f_a), f - f_a \rangle + \langle T^n (f - f_a), f \rangle \end{aligned}$$

independent.

$$\langle T^n f, f \rangle \geq \langle T^n f_a, f_a \rangle - \frac{d^2}{2}$$

$$\begin{aligned} &= \|f_a\|^2 \\ &\geq \|f_a\|^2 - \frac{d^2}{2} \geq \langle f_a, \mathbb{1} \rangle^2 - \frac{d^2}{2} \\ &= \langle \chi_1, \mathbb{1} \rangle^2 - \frac{d^2}{2} = \frac{d^2}{2} \end{aligned}$$

Cauchy-Schwarz

Wie oben gilt: $\lim_{N \rightarrow \infty} \frac{1}{N} \sum_{n=1}^{aN} \langle T^{R(n)} f, f \rangle \gg \frac{1}{a} \cdot \frac{d^2}{2} > 0$.



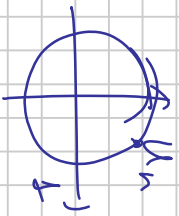
4 Ein Hilfsmittel:
das van der Corput Summa.

[Th 4.1] (Van der Corput Summa Trick)
Seien H Hilbert, (u_n) beschr. in H . Definiere A_h

$$\gamma_h := \lim_{N \rightarrow \infty} \frac{1}{N} \sum_{n=1}^N \langle u_{n+h}, u_n \rangle$$



Wenn $\lim_{H \rightarrow \infty} \frac{1}{H} \sum_{h=1}^H \gamma_h = 0$, dann gilt $\lim_{N \rightarrow \infty} \frac{1}{N} \sum_{n=1}^N u_n = 0$.



Bem. 1) $\langle u_{n+h}, u_n \rangle$ heißen manchmal manchmal diskrete Ableitungen

längs h^v : Wenn $H = \mathbb{C}$ und $u_n = e^{i\varphi_n}$, dann

hat man

$$\langle u_{n+h}, u_n \rangle = e^{i(\varphi_{n+h} - \varphi_n)}$$

$e^{i(\varphi_{n+h} - \varphi_n)}$

analog zu $f(x+h) - f(x)$

2) Es gibt sogar mehr: (für $\|u_n\| \leq 1$)

$$\lim_{N \rightarrow \infty} \frac{1}{N} \sum_{n=1}^N \|u_n\| \leq \lim_{H \rightarrow \infty} \frac{1}{H} \sum_{h=1}^H \delta_h$$

von der Cauchy'sche Ungleichung

Ein alternativer Beweis von Schritt 2 (Rest) für polyn.

Rekurrenz / Konvergenz ohne Spektralatz und ohne Weyl

Sei $g \perp \text{Hrat}$. $\exists z: t_{\sum_{n=1}^N T^{p(n)}} g \rightarrow 0$ in $L^2(X, \mu)$
 A Polynom $p \in \mathcal{D}[\cdot]$ mit $\deg p \geq 1$.
 (T nicht invert. $\Rightarrow p: \mathbb{N} \rightarrow \mathbb{N}_0$)

Induktion nach $\deg p$

$\deg p = 1$ Da $g \perp \text{Fix } T^a$ $\forall a$, gilt nach dem
 Mittelwertsatz

$$\frac{1}{N} \sum_{n=1}^N T^{an} g \rightarrow 0 \text{ in } L^2 \quad \forall a$$

Für $b \in \mathbb{Z}$ bzw. \mathbb{N}_0 :

$$\frac{1}{N} \sum_{n=1}^N T^{an+b} g = T^b \left(\frac{1}{N} \sum_{n=1}^N T^{an} g \right) \rightarrow 0$$

$\deg p: k-1 \rightarrow k$

Idee: Von der Corput für $u_n := T^{p(n)}g$
 für $h \in \mathbb{N}$.

$$\langle u_{n+h}, u_n \rangle = \langle T^{p(n+h)}g, T^{p(n)}g \rangle \stackrel{\text{Isom.}}{=} \langle T^{p(n+h)-p(n)}g, g \rangle$$

Beobachtung:

$q_h^{(n)} := p(n+h) - p(n)$ ist ein Polynom der Ordnung h (also auch nicht konstant)

Ind' Vorausss.:

$$\delta_r := \overline{\lim_{N \rightarrow \infty}} \left| \frac{1}{N} \sum_{n=1}^N \langle u_{n+h}, u_n \rangle \right| = \overline{\lim_{N \rightarrow \infty}} \left| \langle T^{p(n+h)-p(n)}g, g \rangle \right|$$

so in 2

$$\forall \epsilon: \frac{1}{N} \sum_{n=1}^N T^{p(n)}g \rightarrow 0 \quad \forall h.$$



Noch eine Anwendung: Satz von Weyl

Wir zeigen: $\forall p \in \mathbb{Z}[\mathbb{F}_p]$, $p \neq \text{konst.}$ $\forall \lambda$ invert. ist die Folge $\{a_n(p)\} \bmod \lambda$ gleichverteilt in $[0,1]$, oder

Beweis: Induktion: $\frac{1}{N} \sum_{n=1}^N e^{\pi i d p(n)k} \rightarrow 0$ $\forall k \neq 0$ (Weyl-Kriter. vom WS)

AggP = 1 $p(n) = a_n + b$

$$\frac{1}{N} \sum_{n=1}^N e^{\pi i d a_n k} e^{\pi i d b k}$$

$\rightarrow 0$ (WS, erinnere: $e^{\pi i d b k}$ $\rightarrow 0$)

$$\frac{1}{N} \left| \frac{e^{\pi i d a_N (N+1)k} - 1}{e^{\pi i d k} - 1} \right| \leq \frac{2}{N \cdot |e^{\pi i d k} - 1|} \rightarrow 0$$

AggP: $d \rightarrow d+1$
 $a_n := e^{\pi i d p(n)k} \in \mathbb{C}$

$$\langle a_{n+h}, a_n \rangle = e^{2\pi i p(n+h) - p(n)}$$

es. $\rightarrow 0$ (ind' Vorw.) Polynom mit Ordnung d

$$\text{D.h.}, \quad \chi_n = \frac{1}{N} \sum_{m=0}^{N-1} \langle a_{n+h}, a_m \rangle = 0 \quad \forall h$$

$$\text{VdC: } a_n \xrightarrow{\text{es.}} 0$$

Beweis (von der Corput)

$$\text{Ovda } \forall \epsilon > 0 \quad \exists N. \quad (\text{Warum?})$$

für $H \in \mathbb{N}$. Wir zeigen zuerst:

$$\left\| \frac{1}{N} \sum_{n=1}^N a_n - \frac{1}{N} \sum_{n=1}^H a_n - \sum_{n=0}^{H-1} a_{n+h} \right\| \xrightarrow{N \rightarrow \infty} 0$$

Beweis: Für $N > H$:



$$\begin{aligned}
& \left\| \frac{u_1 + \dots + u_N}{N} - \frac{u_1 + \dots + u_H}{H} + \frac{u_{N+1} + \dots + u_{N+H-1}}{H} \right\| \\
& \leq \left[\|u_H, \dots, u_N\| + \|u_{N+1}, \dots, u_{N+H-1}\| \right] \\
& \leq \frac{1}{N} \cdot 2 \left[\|u_1\| + \dots + \|u_{H-1}\| + \|u_{N+1}\| + \dots + \|u_{N+H-1}\| \right] \\
& \leq \frac{2}{N} \cdot 2 \cdot (H-1) \xrightarrow{N \rightarrow \infty} 0
\end{aligned}$$

□

Es reicht also zz:

$$\lim_{N \rightarrow \infty} \left\| \frac{1}{NH} \sum_{n=1}^N \sum_{h=0}^{H-1} u_{n+h} \right\|$$

kann beliebig klein sein (für große H).

$$\|(\varphi)\| \leq \frac{1}{N} \sum_{n=1}^N \frac{1}{H} \sum_{h=0}^{H-1} a_{n+h} \|$$



Da $x \mapsto x^2$ konvex ist, gilt

$$\left(\frac{a_1 + \dots + a_N}{N} \right)^2 \leq \frac{a_1^2 + \dots + a_N^2}{N}$$

und damit:

$$\|(\varphi)\|^2 \leq \frac{1}{N} \sum_{n=1}^N \frac{1}{H} \sum_{h=0}^{H-1} a_{n+h} \|$$

$$= \frac{1}{N} \sum_{n=1}^N \frac{1}{H^2} \sum_{h_1, h_2=0}^{H-1} \langle a_{n+h_1}, a_{n+h_2} \rangle$$

Daraus folgt:

$$\frac{1}{\sqrt{N}} \|(\varphi)\|^2 \leq \frac{1}{H^2} \sum_{h_1, h_2=0}^{H-1} \left| \frac{1}{N} \sum_{n=1}^N \langle a_{n+h_1}, a_{n+h_2} \rangle \right|$$

$= \mathcal{O}(|h_1 - h_2|)$ (Warum?)

Wir setzen:

$$\frac{1}{H^2} \sum_{h_1, h_2=0}^{H-1} \chi_{|h_1-h_2|} \xrightarrow{H \rightarrow \infty} 0$$

Mit $\varepsilon > 0$ und minimiere H_0 : $\forall H \geq H_0$

$$\frac{1}{H} \sum_{h=0}^{H-1} \chi_{h < \varepsilon}$$

Dann haben wir:

$$\frac{1}{2} \frac{1}{H^2} \sum_{h_1, h_2=0}^{H-1} \chi_{|h_1-h_2|} \leq \frac{1}{2} \sum_{h_1=0}^{H-1} \sum_{h_2=h_1}^{H-1} \chi_{h_2-h_1}$$

$H-H_0$

Diagonale kommt doppelt vor

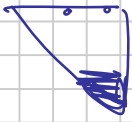
$$= \frac{1}{H} \sum_{h_1=0}^{H-H_0} \frac{1}{H} \sum_{h_2=h_1}^{H-1} \chi_{h_2-h_1} + \frac{1}{H^2} \sum_{h_1=H-H_0}^{H-1} \sum_{h_2=h_1}^{H-1} \chi_{h_2-h_1}$$



I

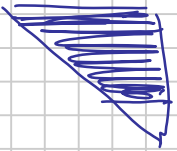
II

II



$$II \leq \frac{1}{K^2} \cdot K_0^2 \xrightarrow{K \rightarrow \infty} 0$$

I



$$I = \frac{1}{K} \sum_{h_1=0}^{K-K_0} \delta_{h_1}$$

$$\sum_{h=0}^{K-h_1-1} \delta_h$$

$$\leq \frac{1}{K-h_1-1} \sum_{h=0}^{K-h_1-1} \delta_h \leq \epsilon, \text{ da } K-h_1 \geq K_0$$

Insgesamt:

$$\frac{1}{K^2} \sum_{h_1, h_2=0}^{K-1} \delta_{|h_1-h_2|}$$

$$\xrightarrow{K \rightarrow \infty} 0, \text{ wir sind fertig.}$$

